

مدل‌سازی مکانی مناطق تغذیه آبخوان‌های کارستی با استفاده از مدل KARSTLOP (مطالعه موردنی: آبخوان کارستی خورین)

مژگان انتظاری*—استادیار دانشکده جغرافیا، دانشگاه اصفهان

مجتبی یمانی—استاد گروه جغرافیای طبیعی، دانشگاه تهران

مریم جعفری اقدم—دانشجوی دکتری ژئومورفولوژی، دانشکده جغرافیا، دانشگاه اصفهان

پذیرش مقاله: ۱۳۹۴/۰۲/۲۲ تأیید نهایی: ۱۳۹۴/۰۷/۲۲

چکیده

به علت ماهیت پیچیده مناطق کارستی، مبحث تغذیه در آبخوان‌های کارستی امری پیچیده بوده و تعریف تغذیه در شرایط مطلق امکان پذیر نیست. مناطق تغذیه، میزان و توزیع فضایی تغذیه در آبخوان‌های کارستی، بستگی به عواملی چون ژئومورفولوژی کارست و میزان توسعه آن، اقلیم، شبیب، پوشش گیاهی، خاک و عوامل زمین‌شناسی دارد. آبخوان کارستی خورین در استان کرمانشاه، نقش مهمی در شکل‌گیری و استمرار حیات جوامن انسانی اطراف خود و اکوسیستم تالاب هشیلان دارد. هدف از پژوهش، مدل‌سازی مناطق تغذیه آبخوان خورین با استفاده از مدل KARSTLOP می‌باشد. بررسی نقشه پهنه‌بندی آبخوان خورین نشان می‌دهد که ۶۱٪ از مساحت آبخوان دارای میزان تغذیه بیش از ۷۰٪ بوده و ۸۸٪ از مساحت آبخوان، دارای تغذیه بیش از ۵۰٪ می‌باشد. این امر حاکی از میزان نفوذپذیری بالای آبخوان خورین است. تطابق نقشه پهنه‌بندی نهایی با نقشه ژئومورفولوژی کارست سطحی آبخوان، حاکی از نقش اصلی ژئومورفولوژی کارست در توزیع مکانی مقادیر تغذیه در آبخوان خورین می‌باشد. مناطق با میزان تغذیه بیش از ۷۰٪ منطبق بر نواحی توسعه یافته کارستی رأس کوهستان می‌باشد. پوشش گیاهی نسبتاً تنک، تکتونیزه بودن منطقه، رخنمون سازند که بناته بیستون از دیگر عوامل مؤثر در میزان تغذیه بالای کوه خورین می‌باشند. بالا بودن میزان تغذیه و توزیع مکانی مناطق تغذیه آبخوان نشان می‌دهد که آبخوان در برابر انتشار آلودگی اسیب‌پذیر بوده و نیازمند برنامه‌های حفاظتی و مدیریتی جهت آلودگی با مدنظر قرار دادن نقشه پهنه‌بندی تغذیه و نقشه ژئومورفولوژی کارست سطحی می‌باشد.

واژگان کلیدی: آبخوان کارستی خورین، مناطق تغذیه، نفوذپذیری، مدل KARSTLOP

مقدمه

مناطق کارستی به مناطق مشخصی اطلاق می‌شوند که از طریق انحلال سنگ‌بستر و توسعه شبکه زهکشی زیرزمینی توسعه یافته و اساساً با سنگ‌آهک ارتباط پیدا می‌کند (والتهام و همکاران^۱، ۲۰۰۵). درواقع کارست، اصطلاح مورد استفاده برای توصیف یک سبک خاص از چشم‌اندازها شامل غارها و سیستم‌های آب زیرزمینی است که بهویژه در سنگ‌های انحلالی مانند سنگ‌آهک، سنگ مرمر، نمک و گچ به وجود می‌آید (فورد و ویلیامز^۲، ۲۰۰۷). ایجاد و توسعه ژئومورفولوژی کارست، باعث شکل‌گیری سیستم کارستی و تشکیل آبخوان‌های کارستی می‌گردد. بالکویچ^۳ (۲۰۰۵) معتقد است که آبخوان‌های کارستی، سنگ‌های کربنات‌های هستند که دارای آب زیرزمینی با قابلیت بهره‌برداری می‌باشند. درواقع، آبخوان‌های کارستی، مخازن زیرزمینی بوده که آب را در شبکه‌ای از درزه و شکاف‌های به‌هم‌پیوسته، غارها و کanal‌ها ذخیره می‌کنند (میلانویچ^۴، ۲۰۰۵). یکی از دلایل اهمیت یافتن مناطق کارستی، منابع آبی مهم آن می‌باشد. به‌طور کلی آبخوان‌های کارستی دارای سه منطقه تغذیه، انتقال و تخلیه می‌باشند. مناطق تغذیه، به عنوان تأمین‌کننده ورودی آبخوان، نقش اساسی در چرخه هیدرولوژیکی آبخوان‌های کارستی دارند. با توجه به عدم یکسان بودن ژئومورفولوژی کارست سطحی و لندروم، نوع و چگونگی تغذیه در آبخوان‌های کارستی متفاوت می‌باشد. وايت^۵ (۱۹۹۸) معتقد است که تغذیه آبخوان‌های کارستی به چهار حالت مختلف تغذیه خودزا^۶، تغذیه دگرزا^۷، رواناب درونی^۸ و تغذیه از طریق آبخوان‌های معلق صورت می‌گیرد. در مقابل فورد و ویلیامز (۲۰۰۷) معتقدند که به‌طور کلی سه نوع تغذیه خودزا، دگرزا و مخلوط در آبخوان‌های کارستی وجود دارد و تغذیه به صورت رواناب درونی و آب خروجی از آبخوان‌های معلق جزئی از دو حالت خودزا و دگرزا می‌باشد. ویژگی‌های ژئومورفولوژیکی منطقه تغذیه و نوع تغذیه تأثیر اساسی در ویژگی‌های هیدرولوژیکی آبخوان‌های کارستی دارند. فورد و ویلیامز معتقدند که تفاوت در نوع تغذیه منجر به تفاوت در ویژگی‌های هیدرودینامیکی و هیدروشیمیایی آب چشممه‌ها می‌گردد. به عبارت دیگر، ویژگی‌های منطقه تغذیه در آبخوان‌های کارستی، نوع تغذیه، جریان و میزان آسیب‌پذیری آبخوان از آلودگی را کنترل می‌کند؛ بنابراین، شناخت مناطق تغذیه در آبخوان‌های کارستی نقش کلیدی در شناخت ویژگی‌های هیدرودینامیکی و هیدروشیمیایی آبخوان‌ها و همچنین مدیریت و بهره‌برداری علمی و بهینه از آن‌ها را دارد. امروزه نیاز به تأمین آب، برای رفع نیاز جوامع انسانی و اکوسیستم‌های طبیعی به‌طور فزاینده‌ای در سطح جهان موردنوجه قرار گرفته است (گوندوی و همکاران^۹، ۲۰۱۱). آبخوان‌های کارستی یک منبع بالارزش آب در مناطق وسیعی از جهان بوده که با کاهش کمیت و کیفیت آب آبخوان‌های آبرفتی، اهمیت آن‌ها به عنوان یک منبع استراتژیک دوچندان شده است (سیویتا، ۲۰۰۸؛ ۸۵۶). سابقه مطالعه تغذیه آب‌های زیرزمینی به اواسط دهه ۱۹۸۰ میلادی توسط هیلی^{۱۰}، لرنر و همکاران^{۱۱} (۱۹۹۰)، شارما^{۱۲} (۱۹۸۹)، سیمرز^{۱۳} (۱۹۹۷) و رادویچ و همکاران^{۱۴} (۲۰۱۰) بر می‌گردد.

مدل‌سازی مناطق تغذیه در آبخوان‌های کارستی یک موضوع جدید است که با پیشرفت GIS و RS توسط شaban و همکاران^{۱۵} (۲۰۰۴)، هوگز و همکاران^۱ (۲۰۰۶) و رادولویس^۳ (۲۰۱۲) موردنوجه قرار گرفت. قبل از این مطالعات،

1 - Waltham et al

2 - Ford and Wiliamz

3 - Bakalowicz

4 - Milanović,P

5 - White

6 - autogenic

7 - allogenic

8 - Internal runoff

9 -Gondwe et al,

10 . Healy

11 . Lerner et al

12 . Sharma

13 . Simmers

14-Radulovic et al

15 . Shaban et al

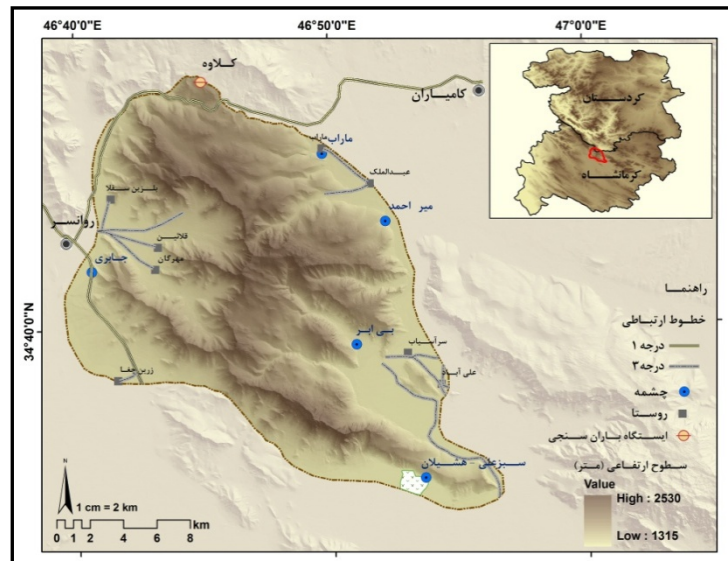
پژوهش‌های انجام‌گرفته در زمینه تغذیه آبخوان‌های کارستی در حیطه مباحث هیدرودینامیکی و تعیین نوع تغذیه و نوع جریان بوده و بر ویژگی‌های منطقه انتقالی آبخوان تأکید داشته‌اند. از جمله این پژوهش‌ها می‌توان به مانگین^۳ (۱۹۸۴)، سauter^۴ (۱۹۹۲)، توج و ساوتر^۵ (۱۹۹۸)، جونز^۶ (۲۰۰۱)، جوکی^۷ (۲۰۰۸)، باور و همکاران^۸ (۲۰۰۵)، جیر و همکاران^۹ (۲۰۰۸)، جانزا^{۱۰} (۲۰۱۰) و سانتوس و آندره^{۱۱} (۲۰۱۰) اشاره نمود.

امروزه مسائل و مشکلات مرتبط با تأمین آب و مدیریت آن، یک مسئله مهم در برنامه‌ریزی‌های عمرانی کشور است. منابع آب کارستی مهم‌ترین منبع تأمین آب در استان کرمانشاه می‌باشند. آبخوان کارستی خورین با آبدی‌هی سالانه بیش از ۲۴ میلیون مترمکعب، تغذیه‌کننده تالاب هشیلان بوده و علاوه بر آن، جوامع محلی اطراف برای مقصد شرب و کشاورزی از آب این آبخوان استفاده می‌کنند. با توجه به توسعه‌یافته‌گی ژئومورفولوژی کارست، پوشش نازک خاک، پوشش گیاهی نسبتاً کم، تکتونیزه بودن منطقه و زمستانه بودن بارش در آبخوان خورین، میزان نفوذ آب در این آبخوان بالا می‌باشد؛ بنابراین با توجه به نقش مهم آبخوان کارستی خورین در تأمین آب جوامع محلی اطراف خود، مدل‌سازی و شناخت مناطق تغذیه آن جهت مدیریت بهینه به لحاظ کمی و کیفی، شناخت آводگی، آسیب‌پذیری و ارزیابی ریسک آبخوان، نقش مهمی را در زمینه مدیریت بهینه و علمی این آبخوان دارد. هدف از این پژوهش، مدل‌سازی مناطق تغذیه آبخوان خورین با استفاده از مدل KARSTLOP می‌باشد. این مدل توسط رادویچ و همکاران (۲۰۱۲) ارائه و در مناطق کارستی مونته نگرو مورد ارزیابی قرار گرفت و نتایج، حاکی از کارایی بالای این مدل در تعیین مناطق تغذیه آبخوان‌های کارستی می‌باشد.

موقعیت آبخوان مورد مطالعه

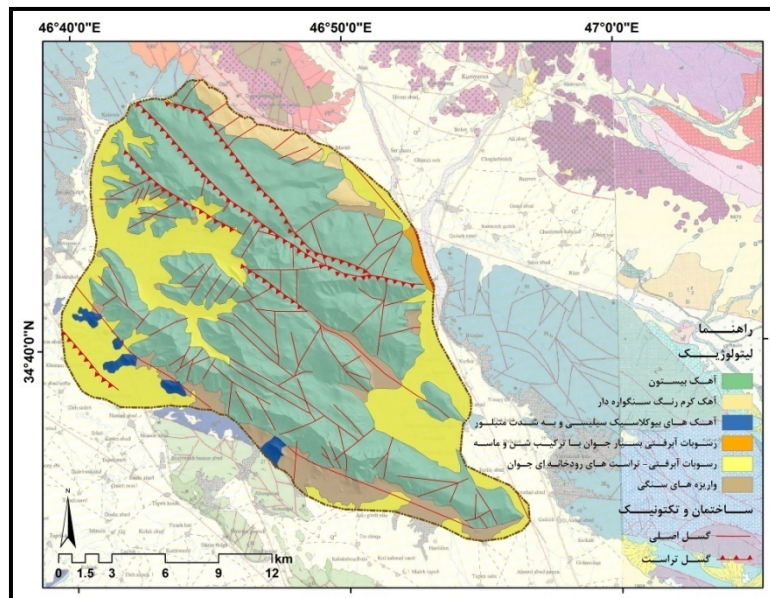
آبخوان خورین منطبق بر کوهستان خورین در ۳۶ کیلومتری غرب شهر کرمانشاه واقع شده و دسترسی به آن از طریق جاده کرمانشاه-کامیاران امکان‌پذیر می‌باشد. مساحت این آبخوان $380/4$ کیلومترمربع می‌باشد که از این میزان، ۳۴ کیلومترمربع آن در قسمت شمالی کوهستان، واقع در قسمت جنوب غربی شهرستان کامیاران در استان کردستان می‌باشد. این کوهستان، با روند شمال‌غرب-جنوب‌شرق بین عرض‌های جغرافیایی $34^{\circ}34'$ تا $34^{\circ}48'$ شمالی و طول‌های جغرافیایی $39^{\circ}46'$ تا $46^{\circ}57'$ واقع شده است. ارتفاع حداکثر و حداقل آن، به ترتیب 2530 و 1315 متر از سطح دریا می‌باشد. این آبخوان در قسمت جنوب شرقی تاقدیس، توسط چشمه سبزعلی (هشیلان) تخلیه می‌گردد. به جز چشمه هشیلان، چشمه‌های ماراب، بی‌ابر، میراحمد و جابری نیز از این آبخوان تغذیه می‌شوند. لازم به ذکر است که معیار مرزیندی آبخوان در این پژوهش، کوهستان (توده) خورین بوده که دارای توده آهکی دوره کرتاسه می‌باشد (شکل ۱).

1 . Hughes et al
2 . Radulovic
3 . Mangin
4 . Sauter
5 . Teutsch and Sauter
6 . Jones
7 . Jukic
8 . Bauer et al
9 . Geyer et al
10 . Janza
11 . Santos and Andreu



شكل ١: موقعیت منطقه مورد مطالعه

کوهستان خورین در زون زاگرس مرتفع واقع شده و بهشدت تکتونیزه بوده و گسل های اصلی از نوع تراستی می باشد. درصد از مساحت کوهستان خورین از سازند کریانه بیستون با سن کرتاسه و ضخامتی در حدود ۱۵۰۰ متر تشکیل شده است. بیشتر حواشی خورین توسط آبرفت های جوان و تراویر تن پوشیده شده و حواشی شمالی آن توسط سازند کریانه قم (OM¹) با سن الیگوسن - میوسن پوشیده شده است (شکل ۲).



شکل ۲: زمین‌شناسی آبخوان‌خورین

اقلیم منطقه موردمطالعه از نوع معتدل مدیترانه‌ای بوده و دارای دو فصل مشخص سرد و مرطوب و گرم و خشک می‌باشد. بر اساس آمار ایستگاه باران‌سنجی کلاوه بیش از ۸۰٪ بارش منطقه در دوره سرد سال رخ می‌دهد. در ارتفاع بالای ۱۵۰۰ متر بیشتر بارش‌های ماههای دی و بهمن به صورت برف بوده که نقش مهمی را در تغذیه آبخوان‌ها بر عهده دارد. جدول (۱) میانگین بارش و دمایی ۱۵ ساله ایستگاه کلاوه را نشان می‌دهد.

جدول ۱: ویژگی‌های بارش و دمایی ایستگاه منتخب

ایستگاه باران‌سنجدی کلاوه	ارتفاع (m) ۱۸۷۲	میانگین بارش سالانه (mm) ۶۳۵	میانگین دمای سالانه (C) ۱۱/۸
------------------------------	--------------------	---------------------------------	---------------------------------

سازند کردن این کارست به علت خلوص بالای آهک، ضخامت زیاد و تکتونیزه بودن، شرایط مناسبی را جهت توسعه ژئومورفولوژی کارست دارد. این عامل در ترکیب با عوامل تکتونیکی، اقلیمی و شرایط ژئومورفولوژیکی، باعث شکل‌گیری لندفرم‌های کارستی متنوع و توسعه یافتنگی ژئومورفولوژی کارست در کوهستان خورین گردیده است. کارن (لایه) (شکل ۳، الف)، غار (شکل ۳، ب)، دولین (شکل ۳، ج)، جاما (شکل ۳، د)، شافت عمودی، پونور، اشکال برجی، دره‌های کارستی و پلزه‌ها (پولیه‌ها)، مهم‌ترین لندفرم‌های کارستی کوهستان خورین می‌باشند.

لازم به ذکر است که به منظور شناسایی لندفرم‌های کارستی خورین از بازدیدهای میدانی بهره گرفته شده و علاوه بر آن نیز، فروچاله‌های کارستی با استفاده از روش Fillsink شناسایی گردیدند.

بررسی نقشه ژئومورفولوژی منطقه مورد مطالعه نشان می‌دهد که در سطوح هموار رأس کوه خورین و در امتداد گسل‌ها، دولین و پلزه‌ها شکل‌گرفته‌اند. این نوع لندفرم‌ها، نقش اصلی را در تغذیه آبخوان موردنظری بر عهده دارند. تمامی چشمه‌های اطراف خورین بر اساس تقسیم‌بندی (فورد و ویلیامز؛ ۲۰۰۷) از نوع چشمه‌های سدی (گسلی) می‌باشند.



شکل ۳: لندفرم‌های کارستی کوه خورین؛ الف، کارن؛ ب، غار؛ ج، دولین؛ د، جاما

روش تحقیق

این پژوهش یک تحقیق توسعه‌ای - کاربردی مبتنی بر روش‌های کتابخانه‌ای، میدانی و مدل‌سازی KARSTLOP می‌باشد. در طی بازدیدهای میدانی، ژئومورفولوژی کارست سطحی منطقه شناسایی گردید. از روش Fillsink به منظور شناسایی فروچاله‌های کارستی استفاده و نتایج این روش با برداشت‌های میدانی دقت سنجی گردید.

مدل KARSTLOP مخفف حروف اول هشت لایه K: فرایند کارست زایی (توسعه کارست)، A: شرایط جوی، R: رواناب، S: شبی، T: تکتونیک، L: سنگ‌شناسی، O: لایه پوشاننده، P: پوشش گیاهی می‌باشد. این مدل در محیط

نرم‌افزار GIS قابل اجرا بوده و قضاوت شخصی پژوهشگر در انتخاب پارامترهای تحلیلی و تعريف معیارهای ارزیابی و الگوریتم دخیل می‌باشد (رادویج؛ ۲۰۰۹). لایه توسعه کارست (K) به عنوان مهم‌ترین لایه در مدل KARSTLOP مطرح بوده و تهیه آن نیازمند ترسیم نقشه ژئومورفولوژی کارست سطحی، محاسبات هیدرولوژیکی و محاسبه نمایه اشباع SI می‌باشد. لایه‌های شیب (S)، شرایط جوی (A) و رواناب (R) بر اساس Dem ده متر منطقه و بر اساس جدول (۲) تهیه شده و لایه‌های تکتونیک (T)، لیتولوژی (L) و بخشی از لایه پوشش سطحی (O) با استفاده از نقشه زمین‌شناسی ۱.۱۰۰۰۰ کامیاران تهیه گردید. بخش دیگری از لایه پوشش سطحی از نقشه خاک ۱.۲۵۰۰۰ و لایه (P) از نقشه کاربری اراضی به دست آمد (جدول ۲). جهت تعیین منشا کارستی بودن آب چشممه‌های تعذیه شده از آبخوان خورین، از بررسی‌های هیدروشیمیایی استفاده شده است. از داده‌های کمی و کیفی ایستگاه‌های هیدرومتری سراب هشیلان، بی‌ابر، جابری، میراحمد و ماراب و داده‌های ایستگاه باران‌سنگی کلاوه برای محاسبات هیدرولوژیکی و هیدروشیمیایی و همچنین بررسی اقلیمی آبخوان موردمطالعه بهره گرفته شده است. از بازدیدهای میدانی جهت شناسایی ژئومورفولوژی کارست سطحی و ثبت موقعیت لندرم ها صورت گرفت. درنهایت پهنه‌بندی به دست آمده از مدل KARSTLOP با نقشه ژئومورفولوژی کوهستان خورین دقت سنگی گردید تا نقش لندرم های کارستی در تعذیه آبخوان کارستی مورد ارزیابی قرار گیرد. از نرم‌افزار AqQA برای محاسبه تیپ آب آبخوان خورین، از نرم‌افزار PHREEQC به منظور محاسبه نسبت اشباع، از نرم‌افزار Coreldraw X6 برای ترسیم نقشه ژئومورفولوژی و از نرم‌افزار ArcGIS 10.2 به منظور مدل‌سازی مدل مذکور استفاده شده است.

جدول ۲: نحوه محاسبه پارامترهای مدل KARSTLOP (منبع؛ رادویج و همکاران، ۲۰۱۲)

K - KARSTIFICATION																																															
<i>Area of degraded zone (karren fields, ruin-like relief etc.) per unit square ($10^3 \text{ m}^2/\text{km}^2$)</i>		<i>Ksf₁</i>	<i>Area of karst depressions per unit square ($10^3 \text{ m}^2/\text{km}^2$)</i>		<i>Ksf₂</i>	$Ksf = (Ksf_1 + Ksf_2)/2$																																									
0	1	<25	1	1																																											
60-120	2	25-50	2	>1-2																																											
120-180	3	50-75	3	>2-3																																											
180-240	4	75-100	4	>3-4																																											
>240	5	>100	5	>4-5																																											
$K = \frac{Ksf + Kss}{2}$																																															
<table border="1"> <thead> <tr> <th><i>Qmax/Qmin</i></th><th><i>Kss₁</i></th><th><i>V (cm/s)</i></th><th><i>Kss₂</i></th><th><i>d > 4 km</i></th><th><i>d > 1-4 km</i></th><th><i>d < 1 km</i></th><th><i>Kss₃</i></th> </tr> </thead> <tbody> <tr> <td><5</td><td>1</td><td><0.1</td><td>1</td><td>>0.3</td><td>>0</td><td>>-0.3</td><td>1</td></tr> <tr> <td>5-50</td><td>2</td><td>0.1-1</td><td>2</td><td>0-0.3</td><td>-0.3-0</td><td>-0.6-0.3</td><td>2</td></tr> <tr> <td>5-100</td><td>3</td><td>1-10</td><td>3</td><td>-0.3-0</td><td>-0.6-0.3</td><td>-0.9-0.6</td><td>3</td></tr> <tr> <td>>100</td><td>4</td><td>>10</td><td>4</td><td><-0.3</td><td><-0.6</td><td><-0.9</td><td>4</td></tr> </tbody> </table> <p>200 m buffer on each side of speleologically explored objects (caves, pits and swallow holes)</p>								<i>Qmax/Qmin</i>	<i>Kss₁</i>	<i>V (cm/s)</i>	<i>Kss₂</i>	<i>d > 4 km</i>	<i>d > 1-4 km</i>	<i>d < 1 km</i>	<i>Kss₃</i>	<5	1	<0.1	1	>0.3	>0	>-0.3	1	5-50	2	0.1-1	2	0-0.3	-0.3-0	-0.6-0.3	2	5-100	3	1-10	3	-0.3-0	-0.6-0.3	-0.9-0.6	3	>100	4	>10	4	<-0.3	<-0.6	<-0.9	4
<i>Qmax/Qmin</i>	<i>Kss₁</i>	<i>V (cm/s)</i>	<i>Kss₂</i>	<i>d > 4 km</i>	<i>d > 1-4 km</i>	<i>d < 1 km</i>	<i>Kss₃</i>																																								
<5	1	<0.1	1	>0.3	>0	>-0.3	1																																								
5-50	2	0.1-1	2	0-0.3	-0.3-0	-0.6-0.3	2																																								
5-100	3	1-10	3	-0.3-0	-0.6-0.3	-0.9-0.6	3																																								
>100	4	>10	4	<-0.3	<-0.6	<-0.9	4																																								
<i>A - ATMOSPHERIC CONDITIONS</i>																																															
<i>Altitude (m)</i>	<i>A₁</i>	<i>Reflectance value</i>		<i>A₂</i>	$A = \frac{A_1 + A_2}{2}$																																										
<300	1	>0.5		1																																											
300-800	2	<0.5		5																																											
800-1300	3																																														
1300-1800	4																																														
>1800	5																																														
<i>T - TECTONICS</i>																																															
<i>Slope (°)</i>	<i>S</i>	<i>Lengths of faults (km/km²)</i>	<i>Tf</i>	<i>Dip angle of strata (°)</i>	<i>Td</i>	$T = \frac{Tf + Td}{2}$																																									
0-5	5	0-1	1	<30	1																																										
5-15	4	1-2	2	30-60	3																																										
15-25	3	2-3	3	>60	5																																										
25-35	2	3-4	4																																												
>35	1	>4	5																																												
<i>O - OVERLYING LAYERS</i>																																															
<i>O₁</i>		<i>Thickness</i>																																													
<i>Soil</i>		<15 cm	15-30 cm	30-60 cm	60-100 cm	>100 cm																																									
Calcomelanosols, Eutric cambisols, Rendzinas		5	4	3	2	1																																									
Calccambisols, Terra Rossa		4	3	2	1	1																																									
<i>O₂</i>		<i>Thickness</i>																																													
<i>Geological cover</i>		< 3 m	3-6 m	> 6 m	$O = \frac{O_1 + O_2}{2}$																																										
Alluvium		5	3	1																																											
Glacial-fluvial; Moraine sediments; Scree		3	2	1																																											
Colluvial sediments		2	1	1																																											
Glacial-limnic sediments																																															
$\text{Recharge} = 4xK + A + 4xR + 2xS + T + 4xL + 3xO + P$																																															
<i>R - RUNOFF</i>																																															
<table border="1"> <thead> <tr> <th><i>Surface within the catchment area of referred spring</i></th><th><i>R</i></th> </tr> </thead> <tbody> <tr> <td>200 m buffer on both sides of perennial streams forming a network at contact of karstified limestone or dolomite with more compact carbonate sections</td><td>1</td></tr> <tr> <td>200 m buffer on both sides of perennial streams which form karst depressions (polje, uvala etc.), as well as around perennial streams which run from non-karstic terrain etc.</td><td>3</td></tr> <tr> <td>Remaining of catchments area</td><td>5</td></tr> </tbody> </table>								<i>Surface within the catchment area of referred spring</i>	<i>R</i>	200 m buffer on both sides of perennial streams forming a network at contact of karstified limestone or dolomite with more compact carbonate sections	1	200 m buffer on both sides of perennial streams which form karst depressions (polje, uvala etc.), as well as around perennial streams which run from non-karstic terrain etc.	3	Remaining of catchments area	5																																
<i>Surface within the catchment area of referred spring</i>	<i>R</i>																																														
200 m buffer on both sides of perennial streams forming a network at contact of karstified limestone or dolomite with more compact carbonate sections	1																																														
200 m buffer on both sides of perennial streams which form karst depressions (polje, uvala etc.), as well as around perennial streams which run from non-karstic terrain etc.	3																																														
Remaining of catchments area	5																																														
<i>L - LITHOLOGY</i>																																															
<i>Carbonate rocks</i>	<i>a</i>																																														
Limestone	1																																														
Dolomite	0.7																																														
<i>Bedding</i>	<i>b</i>																																														
Massive, Thickly bedded	2.4																																														
Bedded	1.8																																														
Laminated, Thinly laminated	1.2																																														
<i>Mineralogical-petrographic ingredients</i>	<i>c</i>																																														
Calcareous	2																																														
Dolomitic	1.6																																														
Sandy, Silicified	1.2																																														
Muddy, Clayish, Bituminous	0.8																																														
$L = a \times b \times c$																																															
<i>P - PLANTS</i>																																															
<i>Plants</i>	<i>p</i>																																														
Bare rocks	5																																														
Sparsely vegetated areas	4																																														
Pastures	3																																														
Transitional woodland-scrub	2																																														
Forests	1																																														

بحث و یافته‌ها

ویژگی‌های هیدرولوژیکی و هیدروشیمیایی آبخوان مورد مطالعه نوع تغذیه آبخوان مورد مطالعه، به سبب عدم رخمنون سازندهای دیگر در سطح تاقدیس و جاری نشدن آب از سطح سازندهای غیر کارستی، از نوع خودزا است. گلداشایر و درئو^۱ (۲۰۰۴) معتقدند که در سنگ‌های کربناته کارستی شده بدون پوشش گیاهی و با تغذیه خودزا بیش از ۸۰٪ آب ورودی می‌تواند نفوذ کند. در آبخوان خورین، تغذیه منتشر از طریق درزه و شکاف‌ها و کارن‌ها و تغذیه مرکز از طریق دولین‌ها، پونورها، جاماه‌ها، کارن فیلدها و شافت‌ها انجام می‌گیرد. ویژگی‌های هیدرولوژیکی چشممه‌ها در دوره آماری مورد مطالعه در جدول ۳ و ویژگی‌های هیدروشیمیایی در جدول ۴ نشان داده شده است.

جدول ۳. ویژگی‌های هیدرولوژیکی (آبدھی حداقل و حداکثر) چشممه‌های مورد مطالعه (سال آبی ۱۳۸۸-۱۳۸۹)

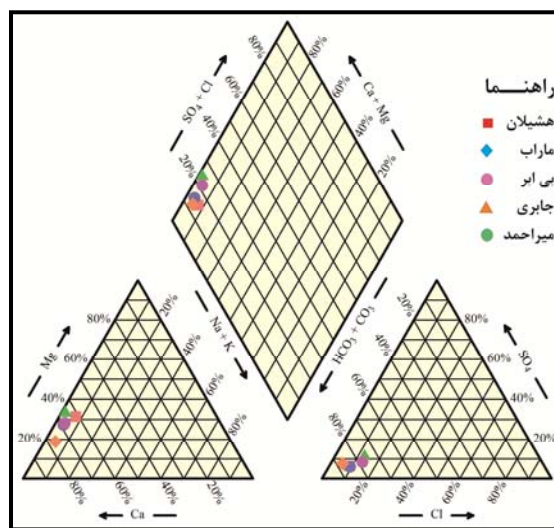
Qmax/Qmin	Qmin(l/s)	Qmax(l/s)	Qmen(l/s)	چشممه
۷	۱۷	۱۱۸	۷۵	سبزعلی (هشیلان)
۸	۴۴	۳۶۸	۱۰۱	جابری
۷	۵۸	۴۲۱	۲۴۶	میراحمد
۹	۳۹	۳۵۶	۱۰۰	بی‌ابر
۷	۷۸	۵۶۱	۲۳۱	ماراب (کامیاران)

جدول ۴. ویژگی‌های هیدروشیمیایی چشممه‌های مورد مطالعه (۱۳۸۵/۸/۱۸)

TDS	Ec	PH	Ca/Mg	K	HCO ₃	SO ₄	Cl	Ca	Mg	Na	چشممه
۱۸۳	۲۹۰	۷/۷	۳/۲۲	۰/۰۱	۳/۵	۰/۱۴	۰/۱۵	۲	۰/۶۲	۰/۲۵	سبزعلی (هشیلان)
۲۳۴	۳۶۶	۸	۴/۱	۰/۰۲	۲/۹	۰/۳۰	۰/۳۴	۲/۵	۰/۶۱	۰/۴۹	جابری
۲۴۰	۳۷۵	۷/۹	۴/۲۸	۰/۰۱۲	۲/۲	۰/۴۳	۰/۴۷	۲/۷	۰/۶۳	۰/۳۷	میراحمد
۲۱۵	۳۳۶	۷/۵	۳/۷	۰/۰۱	۲/۹	۰/۱۲	۰/۲۳	۲/۳	۰/۶۲	۰/۱۴	بی‌ابر
۱۷۶	۲۷۹	۷/۶	۳/۷۵	۰/۰۲۱	۲/۳۵	۰/۱۶	۰/۲	۲/۱	۰/۵۶	۰/۱۵	ماراب (کامیاران)

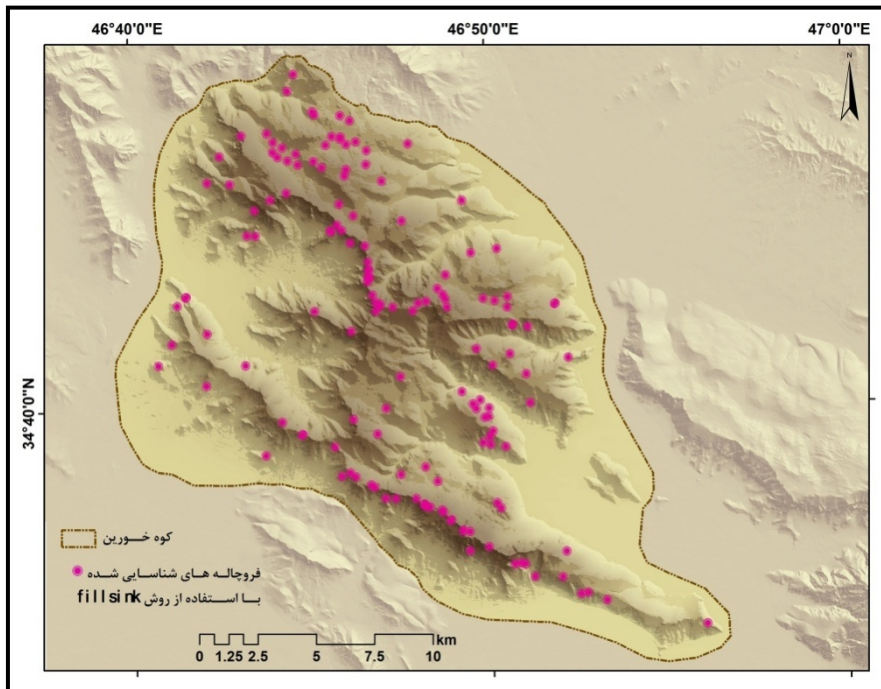
حداکثر دبی چشممه‌های مورد مطالعه، به ترتیب در اردبیلهشت و حداقل دبی آن‌ها در شهریورماه مشاهده می‌شود. معمولاً مقدار هدایت الکتریکی چشممه‌های کارستی کمتر از ۵۰۰ ($\mu\text{S}/\text{cm}$) به دست می‌آید. میزان EC چشممه‌های موردمطالعه کمتر از ۳۷۶ ($\mu\text{S}/\text{cm}$) بوده و از دید آنیونی، یون بی‌کربنات در چشممه‌ها غالب و تیپ آب آن‌ها بی‌کربنات Ca-Mg-HCO₃ است. به لحاظ کاتیونی، کاتیون غالب کلسیم و بعداز آن منیزیم بوده و آب چشممه، رخساره کلسیک و

منیزیک دارد. توالی آبیونی چشممه‌ها $HCO_3 > Cl > SO_4$ دارد(شکل ۴). نمودار پاییر چشممه‌های موردمطالعه در ناحیه چپ نمودار پاییر قرار می‌گیرند که حاکی از تیپ بی کربناته و بالا بودن قلیایی‌های دو ظرفیتی کلسیم - منیزیم در آب چشممه‌های است و این امر تأیید کننده منشأ کارستی چشممه‌های موردمطالعه و تأمین آب آن‌ها از ارتفاعات کربناته حوضه موردمطالعه می‌باشد. ویژگی‌های هیدروشیمیایی آب چشممه تأیید کننده منشأ کارستی چشممه‌ها می‌باشند. افزایش غلظت Mg یا کاهش نسبت مولار Ca/Mg ، نشان‌دهنده زمان ماندگاری بیشتر آب در آبخوان و معرف جنس سازند تغذیه‌کننده چشممه است که مقدار این نسبت در چشممه‌های موردمطالعه بیشتر از $3/2$ است این امر حاکی از زمان ماندگاری کم آب در آبخوان و منعکس‌کننده سنگ‌آهک در منطقه تغذیه چشممه‌ها است.



شکل ۴: نمودار پاییر چشممه‌های موردمطالعه

Fillsink: این روش بر اساس روش تفاضل DEM در محیط نرم‌افزار ArcGIS و با استفاده از ابزار Archydro انجام می‌گیرد. این روش شامل دو مرحله بوده و در مرحله اول DEM اصلاح نشده با استفاده از الگوریتم Fillsink اصلاح می‌گردد. در این مرحله نقطه و یا مجموعه از نقاط مجاور که توسط نقاط مجاور با ارتفاع بالاتر محصور شده‌اند، شناسایی می‌گردد. در مرحله دوم به‌منظور استخراج فروچاله‌ها و عمق فرورفتگی در مناطق یادشده، DEM اصلاح شده از DEM اصلی تفريق می‌شود و نتیجه آن نقشه فروچاله‌های کارستی منطقه می‌باشد. این روش همه چاله‌های بسته در DEM را مشخص کرده و به علت خطاهای موجود در DEM، فروچاله‌های کاذب را نیز شناسایی می‌کند، بنابراین نیازمند دقت سنگی می‌باشد. در این پژوهش از بازدیدهای میدانی جهت دقت سنگی فروچاله‌های استخراج شده استفاده گردیده است. شکل ۵ نقشه فروچاله‌های استخراج شده را نشان می‌دهد. لازم به ذکر است که در این قسمت از DEM 10m به‌منظور انجام این روش بهره گرفته شده است.

شکل ۵: فروچاله های کارستی شناسایی شده با استفاده از روش **Fillsink**

مدل KARSTLOP

- فرایند کارست زایی (*K*)

نقشه کارستیفیکاسیون^۱ (شکل ۷ و جدول ۲) از دو زیر پارامتر کارست سطحی ksf و کارست زیرسطحی kss به دست می آید. (شکل ۶) کارستیفیکاسیون سطحی(ksf) بر اساس ویژگی های کارست منطقه و لندفرم های کارستی، به دو زیر فاکتور(Ksf1)کارن فیلدها و درزه و شکافها) و Ksf2 (فروچاله های کارستی) تقسیم شده است. کارن به عنوان مناطق کمتر توسعه یافته کارست سطحی، در دامنه های پرشیب رخنمون یافته و در امتداد آن ها تغذیه به صورت منتشر می باشد، در حالی که در امتداد دولین، پلزه، دره های کور، جاما و پونورها عمدتاً تغذیه به صورت مرکز صورت می گیرد. به منظور تهیه نقشه کارستیفیکاسیون سطحی، از معیار تراکم در واحد سطح استفاده می شود(جدول ۲). از ادغام این دو نقشه، نقشه کارستیفیکاسیون سطحی (Ksf) به دست می آید.

بررسی کارستیفیکاسیون زیرسطحی منطقه (Kss) بر اساس مراحل زیر صورت می پذیرد:

به منظور برآورد (Kss1)، دامنه نوسانات دبی چشممه های کارستی حوضه توسط معادله Q_{max}/Q_{min} آنالیز می گردد. (Kss2) توسط سرعت متوسط جریان بر مبنای سانتی متر بر ثانیه می باشد. در این پژوهش سرعت متوسط آب با توجه به شرایط منطقه موردمطالعه، ۷ متر در ثانیه در نظر گرفته شده است. درجه اشباع کلسیت آب چشممه (SI) که بستگی به طول متوسط (d) مسیر آب های زیرزمینی به کیلومتر دارد، منجر به محاسبه (Kss3) می شود. با توجه به وسعت زیاد آبخوان خورین، میزان شاخص d بیش از ۴ کیلومتر در نظر گرفته شد. شاخص اشباع کلسیت چشممه های هشیلان، جابری، میر احمد، بی ابر و ماراب در طی فصل تر به ترتیب $-0/21$ ، $-0/18$ ، $-0/22$ ، $-0/29$ و $-0/26$ می باشد. این مقادیر با استفاده از نرم افزار PHREEQC و برای داده های اردیبهشت ماه ۸۹ محاسبه شده اند. نتایج شاخص اشباع کلسیت، حاکی از ماندگاری کم آب در آبخوان وجود جریان مجرایی در آبخوان خورین می باشد. در نهایت کارست زیرسطحی (Kss) بر مبنای میانگین $3/3$ $Kss1+Kss2+Kss3$ محاسبه می گردد. لازم به ذکر است برای تهیه نقشه

¹ - Karstification

کارست زیرسطحی از ۲۰۰ متر بافر (حریم) در اطراف غارها، چاله‌های بسته و خفره‌های بلع استفاده شده است. نقشه نهایی درجه کارستی شدن از روی هم قرارگیری لایه‌های کارست سطحی و کارست زیرسطحی بر مبنای معادله (۱) محاسبه گردید. نقشه فاکتور نهایی K بر اساس جدول (۲) به ۵ طبقه تقسیم شده و نقشه نهایی این عامل در آبخوان موردمطالعه دارای مقادیر میانگین ۱/۹ تا ۳/۴ می‌باشد. مقادیر حداکثر، منطبق بر مناطق هموار واقع در رأس تاقدیس و مناطق توسعه‌یافته کارستی می‌باشد (شکل ۷).

$$\text{معادله ۱ : } K = \frac{K_{sf} + K_{ss}}{2}$$

• شرایط جوی (A)

در این پارامتر، مقدار تغذیه در درجه اول از طریق متغیر تبخیر و تعرق تحت تأثیر قرار می‌گیرد. شرایط دما و بارش را می‌توان به طور غیرمستقیم به عنوان یکتابع از ارتفاع (A1) در نظر گرفت. با افزایش ارتفاع، میزان دما کمتر شده که این امر باعث کاهش میزان تبخیر و تعرق می‌شود و بالعکس. افزایش ارتفاع منجر به افزایش بارش شده درنتیجه ورودی و تغذیه آبخوان بیشتر می‌گردد. شدت تابش خورشیدی (A2) و جهات دامنه نیز مقدار تبخیر و تعرق و تغذیه را تحت تأثیر قرار می‌دهند. دامنه‌های جنوبی تابش بیشتری از خورشید را دریافت نموده و بیشترین امتیاز از پارامتر (A2) را به خود اختصاص می‌دهند، درحالی‌که منطقه پشت به آفتاب (دامنه‌های شمالی) مقدار کمتری از تابش خورشید را بخصوص در فصل تابستان دریافت می‌کند. با بهره‌گیری از Dem ده متر منطقه موردنرسی، میزان دریافت تابش امتیازبندی گردیده و درنهایت با بهره‌گیری از معادله (۲)، پارامتر A محاسبه می‌گردد. بر اساس شکل (۷) به ترتیب دامنه‌های رو به شمال و رو به جنوب بیشترین و کمترین امتیاز را در این عامل به خود اختصاص داده‌اند.

$$\text{معادله ۲ : } A = \frac{A_1 + A_2}{2}$$

• رواناب (R)

در مناطقی کارستی، میزان نفوذپذیری سنگ‌های کربناته، شب و میزان بارندگی از پارامترهای بسیار مؤثر در میزان رواناب حوضه‌های کارستی می‌باشند. در اینجا بدون توجه به نفوذپذیری، میزان تداوم جریان مدنظر قرار می‌گیرد؛ زیرا جریان دائمی ممکن است مناطق گسترشده‌ای در امتداد بستر رودخانه که شامل سنگ‌های نفوذناپذیرتر از سنگ‌آهک و دولومیت باشد را نشان دهد و ممکن است هدایت هیدرولیکی کمتر از پوشش خاک یا زمین‌شناسی باشد؛ بنابراین بر اساس حضور رواناب سطحی، پهنه‌های کارستی به سه دسته تقسیم می‌شود (جدول ۲).

- حریم ۲۰۰ متری در دو طرف جریان دائمی شکل گرفته شده به وسیله دبی

- حریم ۲۰۰ متری در هر دو طرف جریان‌های دائمی در اطراف چاله‌های بسته و پلزه‌ها، همچنین در اطراف جریان‌های دائمی که از زمین‌های غیر کارستی می‌گذرند.

- قسمت‌های باقیمانده در حوضه آبریز

با توجه به نبود جریان دائمی در منطقه موردمطالعه تمامی سطح منطقه دارای امتیاز ۵ می‌باشد (شکل ۵).

• شب (S)

همان‌طور که در قسمت رواناب نیز اشاره گردید، شب از عوامل بسیار مهمی است که باعث شکل‌گیری رواناب شده و تعیین‌کننده میزان تبدیل آب بارش به جریان سطحی است. شب‌های کم برای نفوذ مناسب‌تر بوده، زیرا افزایش شب باعث کاهش تغذیه آبخوان می‌گردد. نحوه محاسبه این پارامتر در جدول شماره ۲ آمده است. لازم به ذکر است که این

پارامتر نیز به وسیله Dem ده متر منطقه قابل محاسبه است. میزان امتیاز دریافتی در این پارامتر نسبت عکس با میزان شبیب دارد. مناطق هموار رأس کوه خورین به علت شبیب کم بیشترین امتیاز را به خود اختصاص داده و مناطق پرشیب در دامنه‌ها کمترین امتیاز را دارا می‌باشند. بر این مبنای پارامتر شبیب به ۵ طبقه تقسیم می‌گردد (شکل ۶).

• تکتونیک (T)

این پارامتر، از دو زیر پارامتر تراکم گسل (طول گسل‌ها، کیلومتر در هر واحد سطح به کیلومترمربع) (Tf) و شبیب لایه‌های زمین‌شناسی به درجه (Td) محاسبه می‌گردد. مقدار تغذیه به طور قابل توجهی به درجه شکستگی سنگ بستگی دارد که معمولاً در مناطق گسل خورده این ضربی افزایش پیدا می‌کند (شکل ۶). یکی از عواملی است که ممکن است نفوذ آب و تغذیه آبخوان را تحت تأثیر قرار دهد. لایه‌های چینه‌شناسی افقی نقش کمتری در نفوذ آب دارند، اما لایه‌های با شبیب زیاد به علت وجود شکاف‌های بین لایه‌ای نقش مهمی در نفوذ آب دارند (رادویچ و همکاران، ۲۰۱۲). این لایه از نقشه‌های زمین‌شناسی منطقه به دست می‌آید (شکل ۷). تداخل این دو زیر فاکتور از طریق معادله (۳)، نقشه نهایی تکتونیک را به دست می‌دهد (شکل ۶ و جدول ۲).

$$\text{معادله ۳: } T = \frac{\text{Tf} + \text{Td}}{2}$$

بر اساس شکل شماره ۶ در آبخوان موردمطالعه در امتداد گسل‌ها، امکان نفوذ بیشتر بوده و این مناطق بیشترین امتیاز را به خود اختصاص داده‌اند، درحالی که کمترین امتیاز مربوط به مناطق دور از گسل‌ها و درزه و شکاف‌ها می‌باشد.

• سنگ‌شناسی (L)

ترکیب سنگ‌شناسی به طور مستقیم نفوذپذیری و درنتیجه میزان تغذیه را تحت تأثیر قرار می‌دهد. برای سنگ‌آهک و دولومیت زیر فاکتورهای زیر در نظر گرفته می‌شود: نوع سنگ کربناته (زیر فاکتور a)، لایه زیرین (زیر فاکتور b) و ترکیب پتروگرافی و کانی‌شناسی سنگ کربناته (زیر فاکتور c) (شکل ۶). دولومیت معمولاً به عنوان سنگ با نفوذپذیری و انحلال‌پذیری کمتر نسبت به سنگ‌آهک در نظر گرفته می‌شود و شکستگی‌های زیرسطحی آن کمتر از سنگ‌آهک گسترش می‌بابند؛ بنابراین ارزش نسبی زیر فاکتور برای سنگ‌آهک ۱ و برای دولومیت ۰/۷ است. زیر فاکتور b بر اساس ضخامت و میزان شکستگی امتیازبندی می‌شود. سنگ‌آهک و دولومیت به ندرت به صورت خالص وجود دارند. آن‌ها اغلب حاوی ترکیبات مختلف از کانی‌های دیگر مانند سنگ‌آهک یا دولومیت مارنی، شیلی، ماسه‌ای چرت و... می‌باشند. نفوذپذیری سنگ کربناته اگر حاوی کانی‌های مختلف باشد، کم می‌شود؛ بنابراین ارزش زیر فاکتور c بر اساس وجود این ناخالصی‌ها در نظر گرفته می‌شود که بر روی کاهش نفوذ تأثیر دارد. از نقشه زمین‌شناسی برای به دست آوردن زیر فاکتورها استفاده و فاکتور L از ضرب سه زیر فاکتور محاسبه می‌شود (معادله ۴ و شکل ۷).

$$\text{معادله ۴: } L = a \times b \times c$$

در منطقه موردمطالعه سازند بیستون که بیشترین مساحت منطقه را نیز در بر گرفته است، یک سازند توده‌ای شکسته بوده و جنس آن از نوع آهک می‌باشد و به این خاطر بیشترین امتیاز را به خود اختصاص داده است.

• لایه پوشاننده (O)

نقشه‌های خاک و زمین‌شناسی مبنای شکل‌گیری این لایه می‌باشند. لایه پوشاننده (O₁) عمدها به دلیل ایجاد یک مانع در نفوذ آب سطحی به آبخوان که می‌تواند توسط یک لایه خاک در اپی کارست باشد، نقش مهمی در کاهش پتانسیل تغذیه دارد. در صورت ضخیم بودن لایه خاک و کم بودن خواص هیدرولیکی، نفوذ کنتر و تبخیر و تعرق بیشتر خواهد بود. رتبه‌بندی خاک، بر اساس نوع خاک و ضخامت آن انجام می‌گیرید (جدول ۲). پوشش زمین‌شناسی (O₂) شامل رسوبات نهشتهدی است که بر روی سازندهای کربناته قرار گرفته‌اند. این پارامتر، به وسیله سنگ‌ریزه (توده‌های سنگی سقوط کرده)، آبرفت، کوه رفت، مورن، رسوبات یخچالی رودخانه‌ای و رسوبات دیگر مشخص می‌گردد.

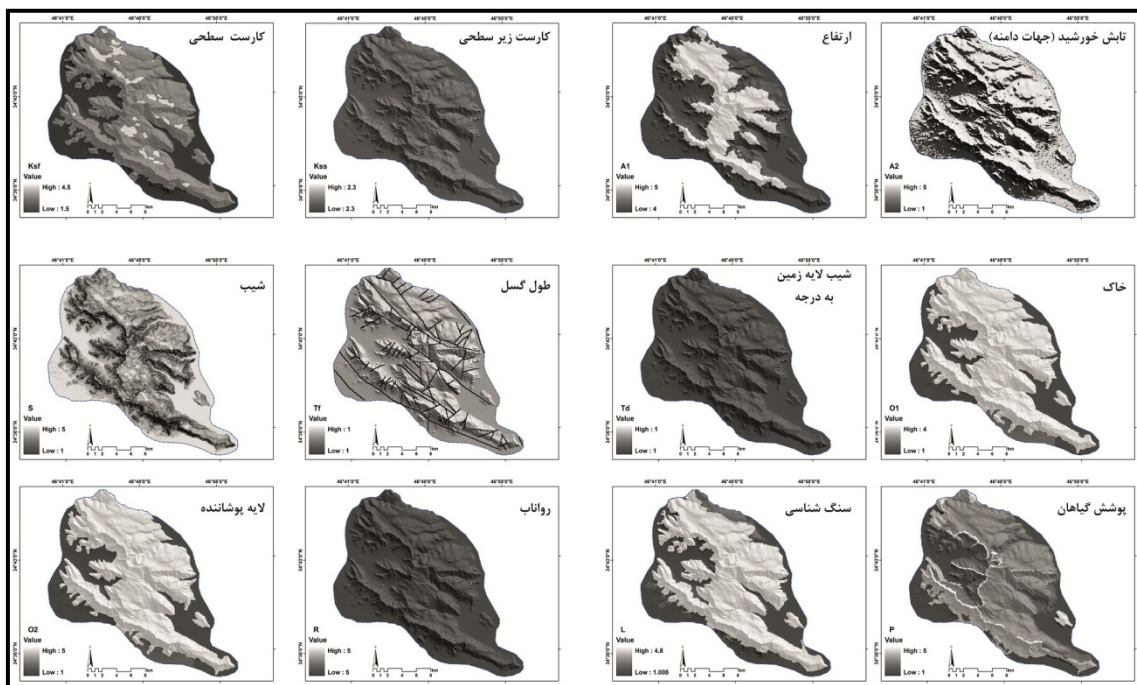
نقشه نهایی لایه‌های پوشاننده از تداخل دو فاکتور بالا و از طریق معادله(۵) محاسبه شده و در شکل ۷ مشاهده می‌گردد.

$$\text{معادله ۵ : } O = \frac{O_1 + O_2}{2}$$

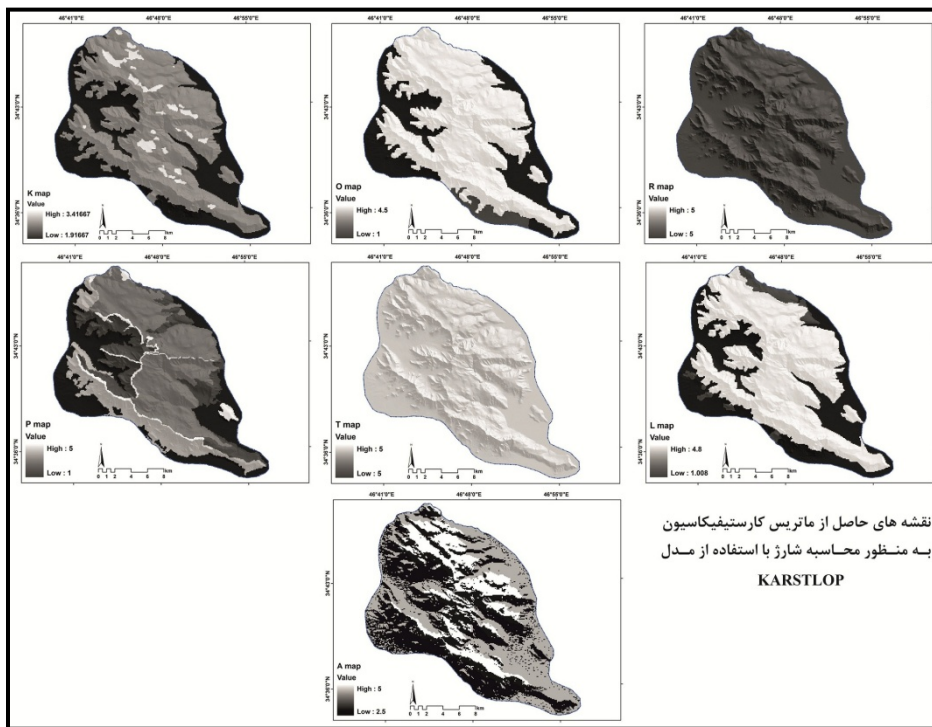
همان‌طور که در شکل ۵ نیز دیده می‌شود، خاک‌های کم‌عمق شکل گرفته شده بر روی نواحی مرتفع و صخره‌ای به دلیل ایجاد شرایط مناسب به منظور نفوذ سریع‌تر، بیشترین امتیاز و خاک‌های دامنه‌ای و آبرفتی به دلیل ضخیم بودن خاک و نفوذ کمتر، کمترین امتیاز را دارا می‌باشند.

• گیاهان (P)

گیاهان نیز بر میزان تغذیه مناطق کارستی بی‌تأثیر نیستند. وجود گیاهان در این مناطق، باعث افزایش تبخیر و تعرق و کاهش مقدار نفوذ آب به زمین می‌گردد. در دسته‌بندی گیاهان بر مبنای جدول ۲ توسعه سیستم ریشه و انشعاب شاخه‌ها نیز در نظر گرفته شده است. در این جدول پوشش گیاهی به ۵ دسته طبقه‌بندی گردیده است. در منطقه مورد بررسی، بیرون‌زدگی‌های سنگی و مراتع با تراکم کم که منطبق با دشت‌های آبرفتی می‌باشد، به دلیل کم بودن میزان پوشش آن‌ها و افزایش نفوذ آب، بیشترین امتیاز را داشته و بعد از آن مراتع نیمه متراکم منطبق بر رأس ناهمواری و مراتع متراکم جای می‌گیرند (شکل ۷).



شکل ۷: زیر پارامترهای مؤثر در کارستیفیکاسیون



شکل ۷: نقشه‌های حاصل از ماتریس کارستی‌فیکاسیون

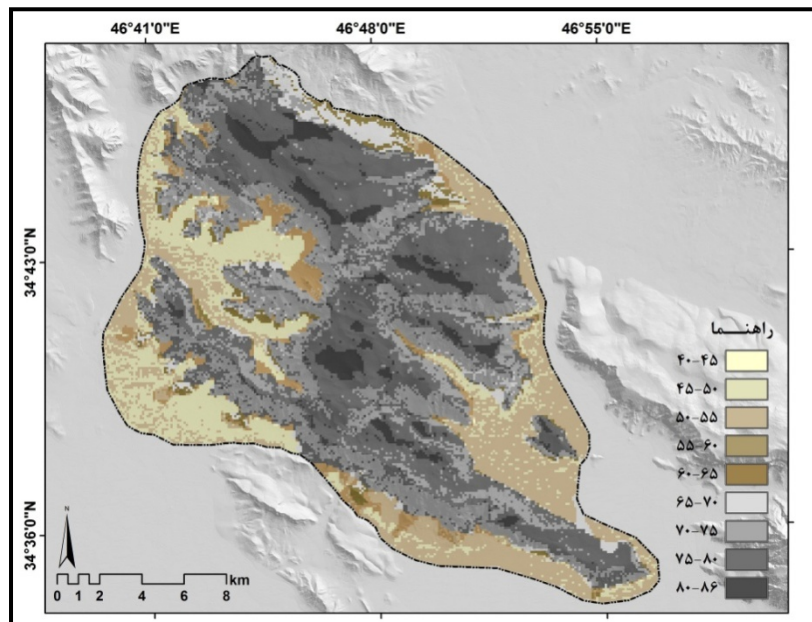
پهن‌بندی مناطق مستعد تغذیه

با بررسی پارامترهای ذکر شده و محاسبه میزان آن‌ها، نقشه نهایی تغذیه آبخوان با استفاده از معادله (۶) تهیه می‌گردد. نقشه نهایی تغذیه نشان‌گر توزیع مکانی تغذیه متوسط سالانه (R_{ch}) بوده و میزان تغذیه به (۰٪) بیان می‌گردد.

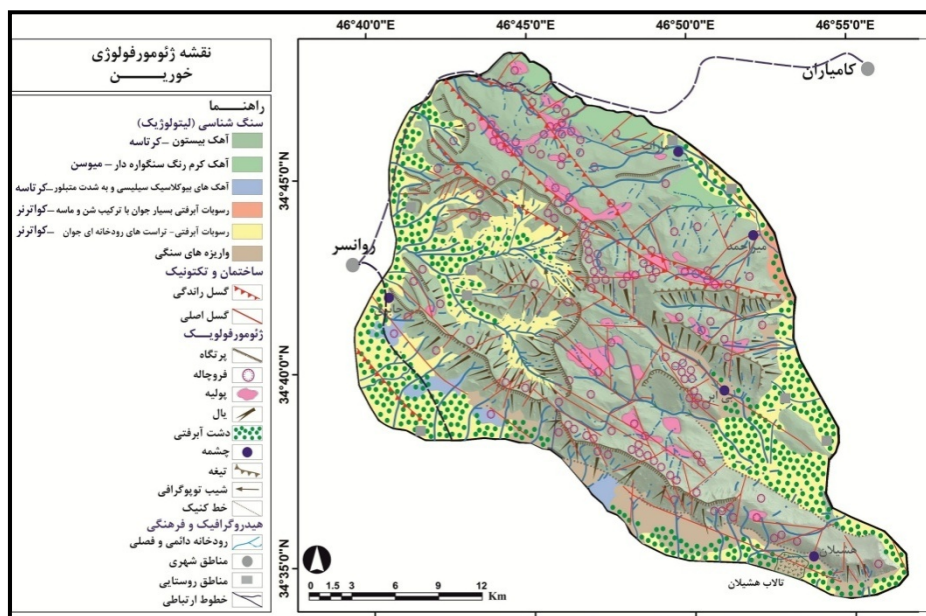
$$\text{معادله ۶ : } R_{ch} = 4 \times K + A + 4 \times R + 2 \times S + T + 4 \times L + 3 \times O + P$$

بررسی معادله ۶ نشان می‌دهد که به پارامترهای کارستی‌فیکاسیون، رواناب و سنگ‌شناسی بیشترین امتیاز اختصاص داده شده است؛ زیرا این عوامل نقش اصلی را در تغذیه آبخوان‌های کارستی بر عهده‌دارند. بررسی نقشه نهایی تغذیه (شکل ۸) و ژئومورفولوژی سطحی کارست (شکل ۹) نشان می‌دهد که میزان تغذیه سالانه به دست آمده برای آبخوان کارستی خورین بین ۴۰ تا ۸۶ درصد می‌باشد. به عبارت دیگر با توجه به پارامترهای گانه، بین ۴۰ تا ۸۰٪ بارش و رودی سالانه تبدیل به تغذیه شده و مابقی آن از دسترس خارج می‌گردد. بیشترین میزان تغذیه در نواحی با بیش از ۸۰٪ تغذیه، منطبق بر سطح هموار پلزه‌ها که دارای دولین می‌باشند، رخداده و کمترین میزان تغذیه ۴۰ تا ۴۵٪ و ۴۵ تا ۵۰٪ نیز در دشت‌های آبرفتی روی می‌دهد. در سطح دشت‌های اطراف کوه خورین میزان تغذیه بین ۴۵ تا ۵۰٪ و ۵۰ تا ۵۵٪ می‌باشد. این مناطق مجموعاً بیش از ۲۹٪ مساحت منطقه را به خود اختصاص داده‌اند. این مناطق منطبق بر نهشته‌های کواترنری می‌باشند. مناطق با تغذیه بین ۵۵ تا ۶۰٪، ۶۰ تا ۶۵٪ و ۶۵ تا ۷۰٪ به صورت مناطق پراکنده در حواشی کوه خورین و منطبق بر سازندهای آهک کرم‌رنگ و آهک بیوکلاستیک و نهشته‌های کواترنری و واریزهای سنگی می‌باشند. این مناطق مجموعاً بیش از ۱۰٪ مساحت خورین را به خود اختصاص داده‌اند. مناطقی با تغذیه بین ۷۰ تا ۷۵٪ دامنه‌های خرد شده با درزه و شکاف‌های زیاد کوهستان خورین را به خود اختصاص داده‌اند. این دامنه‌ها علیرغم شبی نسبتاً زیاد، به شدت خرد شده و اغلب به صورت رخمنون‌های سنگی درزه و شکاف دار می‌باشد. همچنین خاک این دامنه‌ها کم ضخامت و پوشش گیاهی آن تنک و به این علت میزان نفوذ در این مناطق زیاد می‌باشد. این منطقه منطبق بر سازند بیستون بوده و بیش از ۲۳٪ مساحت خورین را به خود اختصاص داده است. نواحی با تغذیه بین ۷۵ تا ۸۰٪ منطبق بر رأس کوه خورین بوده و بیش از ۳۲٪ مساحت منطقه موردمطالعه را در بر می‌گیرند. شبی این نواحی کم، خاک

آن‌ها کم ضخامت و درشت‌دانه، پوشش گیاهی تنک و ژئومورفولوژی کارست توسعه‌یافته و منطبق بر سازند بیستون و بهشدت تکتونیزه می‌باشد. وجود دولین و پونورها و امکان تغذیه مرمرک از طریق آن‌ها، نقش بسیار مهمی در بالا بودن میزان تغذیه در این نواحی دارد می‌باشد. نواحی با تغذیه بین ۸۰ تا ۸۶٪ منطبق بر پلله‌های رأس کوه خورین می‌باشند (جدول ۵) و (شکل ۹). این نواحی دارای شبیب بسیار کم، خاک کم ضخامت، پوشش گیاهی تنک، ژئومورفولوژی کارست سطحی بسیار توسعه‌یافته و در امتداد گسل‌های متعدد رأس کوهستان می‌باشد.



شکل ۸: نقشه نهایی توزیع فضایی تغذیه با استفاده از مدل KARSTLOP در خورین



شکل ۹: نقشه ژئومورفولوژی خورین

جدول ۵: مساحت و درصد مساحت پهنه‌های توزیع تغذیه سالیانه توسط مدل KARSTLOP

ردیف	تغذیه (%)	مساحت (کیلومتر مربع)	درصد مساحت
۱	۴۰-۴۵	۰/۵۰	۰/۱۴
۲	۴۵-۵۰	۴۵/۰۱	۱۱/۹۲
۳	۵۰-۵۵	۶۵/۰۸	۱۷/۲۳
۴	۵۵-۶۰	۱۴/۲۷	۳/۷۷
۵	۶۰-۶۵	۸/۸۰	۲/۳۲
۶	۶۵-۷۰	۱۵/۲۰	۴/۰۲۳
۷	۷۰-۷۵	۸۹/۱۲	۲۳/۵۸
۸	۷۵-۸۰	۱۲۱/۷۷	۳۲/۲۲
۹	۸۰-۸۵	۱۸/۱۲	۴/۷۹
جمع			۱۰۰
۳۸۰/۴			

نتیجه‌گیری

مدل KARSTLOP به منظور پهنه‌بندی مناطق مستعد تغذیه در مناطق کارستی ارائه شده و علیرغم در نظر گرفتن شرایط محیطی، تأکید بیشتری بر روی سیستم کارستی، رواناب، سنگ‌شناسی و لایه پوشاننده آبخوان دارد. کوهستان خورین در زاگرس مرتفع واقع شده و به علت مهیا بودن شرایط مناسب کارست زایی دارای ژئومورفولوژی کارست توسعه یافته می‌باشد. این امر سبب ایجاد آبخوان کارستی در این کوهستان شده که نقش مهمی در تأمین آب مناطق اطراف کوه دارد. بررسی ویژگی‌های هیدروشیمیایی آب چشممه‌های خروجی از آبخوان خورین، حاکی از منشأ کارستی آن‌ها بوده و چشممه‌ها دارای تیپ آب بی کربناته بوده و سازند تغذیه کننده آن‌ها بر اساس نسبت Ca/Mg آهکی می‌باشد. علاوه بر ژئومورفولوژی کارست توسعه یافته، خاک کم ضخامت و درشت‌دانه، پوشش گیاهی نسبتاً تنک، رخمنون‌های سنگی شکسته، تکتونیزه بودن منطقه و درزه و شکاف‌های زیاد، رخمنون سازند کربناته بیستون در بیش از ۶۰ درصد از منطقه، دمای کم و بارش جامد در نواحی مرتفع خورین، باعث ایجاد شرایط مساعد جهت نفوذ نزولات جوی شده است. کوه خورین دارای لندرم‌های کارستی متنوعه همچون پلزه‌ها، دره کارستی، دولین، پونور، جاما، شافت و انواع کارن‌ها می‌باشد. تغذیه آبخوان خورین خودرا بوده و نوع لندرم‌ها سبب به وجود آمدن دو نوع تغذیه متمرکز و منتشر در آبخوان شده است. بدیهی است که در نواحی که تغذیه متمرکز می‌باشد، بیشتر آب ورودی صرف تغذیه آبخوان می‌شود. درواقع میزان تغذیه آبخوان‌های کارستی وابسته به ژئومورفولوژی کارست سطحی می‌باشد. نقشه نهایی پهنه‌بندی آبخوان خورین به لحاظ تغذیه نشان می‌دهد که ۶۱٪ از مساحت آبخوان دارای میزان تغذیه بیش از ۷۰٪ و ۸۸٪ از مساحت آبخوان دارای میزان تغذیه بیش از ۵۰٪ می‌باشد. این امر نشان‌گر میزان نفوذپذیری بالای آبخوان خورین می‌باشد. بررسی نقشه پهنه‌بندی نهایی حاصل از مدل KARSTLOP و تطابق آن با نقشه ژئومورفولوژی منطقه، حاکی از نقش اصلی ژئومورفولوژی کارست کوه خورین در توزیع مکانی مقادیر تغذیه در آبخوان می‌باشد. به عبارت، دیگر مناطق با میزان تغذیه کمتر از ۵۰٪ منطبق بر نواحی اطراف کوهستان می‌باشند که کارست سطحی در آن‌ها توسعه نیافته است. مناطق با میزان تغذیه بیش از ۷۵٪ منطبق بر نواحی توسعه یافته کارستی رأس کوهستان می‌باشند. ضخامت کم خاک، پوشش گیاهی نسبتاً تنک، تکتونیزه بودن منطقه، رخمنون سازند کربناته بیستون از دیگر عوامل مؤثر در میزان تغذیه بالای خورین می‌باشند. نتایج بیان‌گر نقش اصلی ژئومورفولوژی کارست در بالا بودن میزان تغذیه آبخوان است. بالا

بودن میزان تغذیه و همچنین توزیع مکانی مناطق تغذیه آبخوان نشان می‌دهد که این آبخوان در برابر انتشار آلودگی بسیار آسیب‌پذیر می‌باشد، زیرا در مناطق رأس کوه، به علت غلبه نفوذ مرکز و توسعه یافته بودن ژئومورفولوژی کارست سطحی، انتشار آلودگی به صورت نقطه‌ای و بسیار سریع می‌باشد؛ بنابراین این امر نیازمند برنامه‌های حفاظتی و مدیریتی جهت مبحث مرتبط با آلودگی با مدنظر قرار دادن نقشه پهنه‌بندی تغذیه و تغذیه و همچنین نقشه ژئومورفولوژی کارست سطحی می‌باشد.

منابع و مأخذ

- Bakalowicz, M. , 2005. *Karst Groundwater: a Challenge for New Resources: Hydrogeology Journal*, v. 13 (1) , 148-160.
- Bauer, S.,and Liedl, R.,and Sauter, M., 2005. *Modeling the influence of epikarst evolution on karst aquifer genesis, a time-variant recharge boundary condition for joint karst-epikarst development: Water Resour Res* ,v. 41(9) :W09416. doi:10.1029/2004WR003321.
- Ford, D. ,and Williamsm, P. , 2007. *Karst Hydrogeology and Geomorphology*: John&Sons, Ltd.
- Geyer, T. ,and Birk, S. ,and Liedl, R. ,and Sauter, M. ,2008. *Quantification of temporal distribution of recharge in karst systems: spring hydrographs*, J. Hydrol, v.348 , p. 452–463.
- Goldscheider, N. ,and Drew, D. , 2004. *Methods in Karst Hydrogeology*: Taylor& Francis.
- Gondwe, B. ,and Alonso, G.. and Gottwein,G. ,2011. *The influence of conceptual model uncertainty on management decisions for a groundwater-dependent ecosystem in karst: Journal of Hydrology* , v. 400, p. 24–40.
- Healy, RW. ,2010. *Estimating groundwater recharge*: Cambridge University Press Cambridge.
- Hughes, AG. ,and Mansour, MM. ,and Robins, NS. ,and Peach, DW. ,2006. *Numerical modeling of runoff recharge in a catchment in the West Bank*. In: MODFLOW and More 2006: Managing Ground-Water Systems. Conference Proceedings, v. 1, Golden, CO. p. 385–389.
- Janza, M.. 2010. *Hydrological modeling in the karst area, Rizana spring catchment, Slovenia*. Environ Earth Sci ,v.61,p. 909–920.
- Jones William, K. ,and, 2001. *Introduction to epikarst: Karst Waters Institute Special Publication 9*.
- Jukic, D. ,and Denic-Jukic, V. ,2008. *Estimating parameters of groundwater recharge model in frequency domain. Karst springs Jadro and Zrnovnica: Hydrol Process*. v.22, p.4532–4542.
- Karimi, H. ,and Raeisi, E. ,and Zare, M. , 2003. *Hydrodynamic behavior of the Gilan karst spring, west of the Zagros, Iran: Cave and Karst Science*, v. 30(1) ,p. 15-22.
- Kovács, A. ,2005. *A quantitative method for the characterisation of karst aquifers based on spring hydrograph analysis*: J. of Hydrology, v. 303 (1-2) ,p. 152–160.
- Lerner, DN. ,and Issar, AS. ,and Simmers, I. ,1990. *Groundwater recharge. A guide to understanding and estimating natural recharge*: IAH Int Contrib Hydrogeol 8. Heinz Heise, Hannove.

- Mangin, A , 1984. Pour une meilleure connaissance des systemes hydrologiques a partir des analyses correlatoire et spectral, Vol, 67, PP.25-43.
- Martinez-Santos, P. ,and Andreu, JM. ,2010. Lumped and distributed approaches to model natural recharge in semiarid karst aquifers: *J Hydrol*, v. 388, p.389–398.
- Milanović,P. ,2005. *Water Resources Engineering in Karst*: Taylor & Francis.
- Radulovic, M. ,and Stevanovic, Z. ,and Radulovic, M. ,2012. A new approach in assessing recharge of highly karstified terrains—Montenegro case studies: *Environ Earth Sci*, v. 65, p.2221–2230. DOI 10.1007/s12665-011-1378-0.
- Radulovic, MM. ,2009. *KARSTLOP method—Multiparameter analysis of karstic terrains potential for effective infiltration* (in Serbian): Faculty of Mining and Geology, University of Belgrade, Belgrade.
- Sauter, M. ,1992. *Quantification and forecasting of regional groundwater flow and transport in a karst aquifer (Gallusquelle, Malm, SW Germany)*: *Tübinger Geowissenschaftliche Arbeiten*. v. 13, p. 150.
- Shaban, A. ,and BouKheir, R. ,and Froidefond, J. ,and Khawlie, M. , GirardM-C. , 2004. Characterization of morphometric factors of drainage system interrelated to rock infiltration: the case of the Occidental Lebanon: *Caract'eration des facteurs morphom'etriques des r'eseaux hydrographiques correspondant aux capacit'es d'RP's des roches au Liban Occidental*. *Zeitschrift Fur Geomorphologie*.v. 48. p.1.
- Sharma. ML (ed). ,1989. *Groundwater recharge*: AA Balkema, Rotterdam.
- Simmers, I. ,and Hendickx, JMH. ,and Kruseman, GP. ,and Rushton, KR. ,1997. *Recharge of phreatic aquifers in (semi-) arid areas*. International Association of Hydrogeologists: *International Contributions to Hydrogeology*. v. 19, IAH, Wallingford, UK.
- Teutsch, G. ,and Sauter, M. ,1998. *Distributed parameter modeling approaches in karst-hydrological investigations*: *Bull Hydrogeolo*. v. 16, p.99–109.
- Waltham, T. ,and Bell, F. ,and Culshaw, M. ,2005. *sinkholes and Subsidence: Karst and cavernous rocks in engineering and construction*, Springer.
- White, W.b. ,1998. *Geomorphology and hydrology of a karst terrains*: Oxford University press.